

] 10 5r •

KAWASAKI STEEL GIHO

Vol.12 (1980) No.1

)^a&""@ † <#Ý K S « , å þ « Å å »*x% PK2 ? Ð ç þ - (MAGLAY) 2 ?

MAG-LAY Process-Electro-Magnetic Contorolled Overlay Welding Process with ESW

p5 Ü U4{ (Shozaburo Nakano) 0 Y £ (Noboru Nishiyama) È (Ö
(Toshiharu Hiro) ☐ - ¶ M4{ (Jun-ichiro Tsuboi)

0[" :
¥4S&"#ú _ | W Z P/% « Ü ç>* P/% Ó ± Ý b v . † D š M • , K 8*x% PK2 †6ä\$î K S
« Ü ç Å a x i Ý\$î!Ö †!Ö ; \ M • G \ _ | W Z>* • | | 5 "á 10># è W b ó K S \ E G
s @ " } €>*Q#Ý •+ ^7Á œ v 150mm r [Ñ± [A S *x% PK i b/28 7W b ± †
(u • " å 2 i • µ 0 c>* PK7Á v _ | ~1 2s I € • P/% « Ü ç í P/% Ó ± Ý b v . _2s
| M • @>* ¥4S&"#ú _ | W Z G b v . † D š K>* 7W b\$î#Ö †75 F [A • • PK2 † A533
5ð b SUS308 (Ö PK5 " b*x% _4:#Ý K S) Ý c A f u Z, ò [6 W S

Synopsis :

UDC 621.791.793:537.634
621.791.042.2:669.14.018.8

縦磁場を利用したステンレスバンド肉盛溶接法 —マグレイ(MAGLAY)法—

MAGLAY - A Novel Gated Current Welding Process with RSW

中野 昭三郎*
Shozaburo Nakano

西山 昇
Noboru Nishiyama

広 紀治**
Toshiharu Hiro

坪井 潤一郎***
Jun-ichiro Tsuboi

*

Synopsis:

肉盛溶接技術の評価は、つぎの観点で行われる。

Transition

ることもあって、溶け込み不良を招きやすい。こ

B：磁気誘導(G)

アンダーカットを防止するには、この流動力に

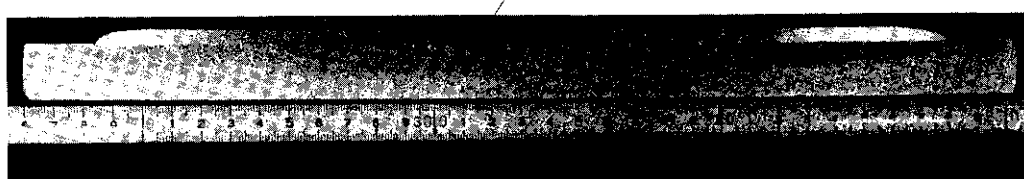
モーメントによる上昇力と重力とを逆らわせ





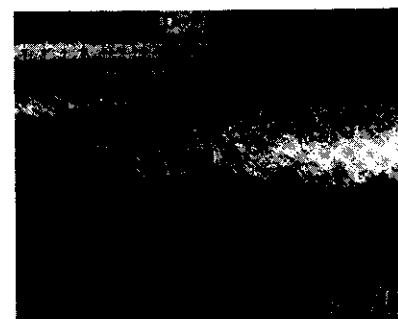
1 pass bead

Location of overlap



2 passes are laid in parallel

Photo. 3 Examples of transverse section of weld bead

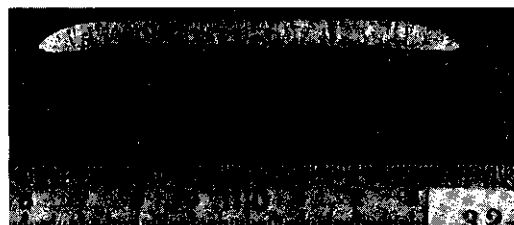




Electrode
width
37.5mm



75mm



150mm

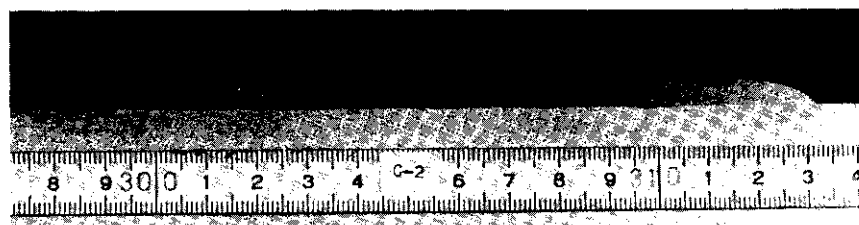
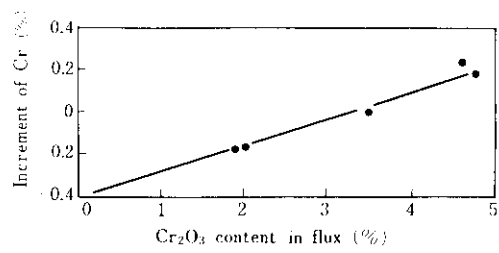


Photo. 7 Comparison of nonmetallic inclusion content between ESW and SAW overlay deposit metal ($\times 400$)



$$-1.25 \text{Mn}_{\text{elec}}\} + \alpha \{3.2 \text{Cr}_{\text{base}} + 3.2 \text{Mo}_{\text{base}} \\ + 1.6 \text{Nb}_{\text{base}} - 2.5 \text{Ni}_{\text{base}} + 4.8 \text{Si}_{\text{base}} - 75 (\text{C}_{\text{base}} \\ + \text{N}_{\text{base}}) - 1.25 \text{Mn}_{\text{base}}\} - 25.3 \quad \dots\dots\dots (5)$$

が得られる。さらに、フラックスにCr₂O₃を添加した場合には、(7)式を用いればよい。

$$\delta_3 = \delta_2 + 1.6 (\% \text{Cr}_2\text{O}_3) \quad \dots\dots\dots (6)$$

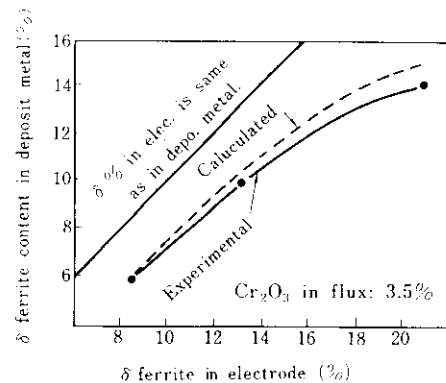
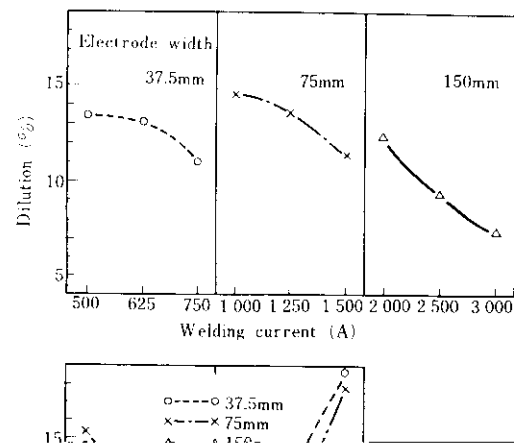
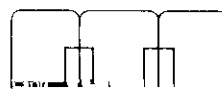


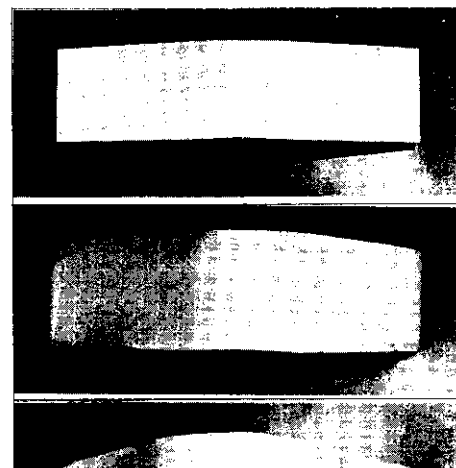
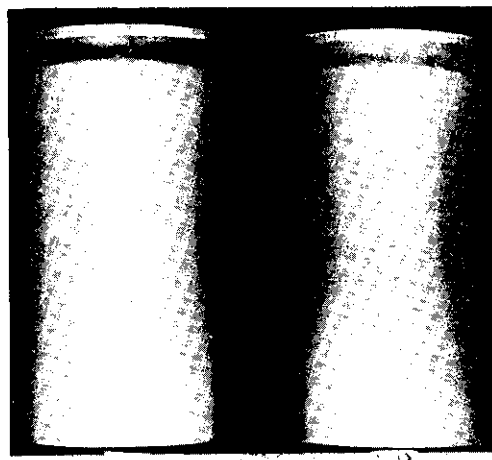
Fig. 13 Comparison of δ ferrite content in deposit metal and electrode



9. 溶着金属の確性試験



BL: Side bend (L)
DC: DC
AC: AC



Bend El.
angle

45° 6%

90° 16%

10 級

溶融金属の流動を制御することにより、ビード重
ね部材含め、きわめて正確な内部構造を得る。

またマグレイ法用に開発されたフラックスKFS-